

SLOVENSKÁ TECHNICKÁ UNIVERZITA V BRATISLAVE
FAKULTA ELEKTROTECHNIKY A INFORMATIKY

IDENTIFIKÁCIA SYSTÉMOV Z PRECHODOVEJ A
IMPULZNEJ CHARAKTERISTIKY

ZADANIE

Obsah

Úvod	1
1 Úlohy	2
2 Riešenie	3
2.1 Identifikácia z prechodovej charakteristiky	3
2.1.1 Sústava 1. rádu 1. metóda	3
2.1.2 Sústava 1. rádu 2. metóda	4
2.1.3 Sústava 1. rádu 3. metóda	5
2.1.4 Sústava 2. rádu rovnaké časové konštanty	6
2.1.5 Sústava 2. rádu rozdielne časové konštanty	8
2.2 Kmitavá sústava 2. rádu	9
2.2.1 1. metóda Bez dopravného oneskorenia	10
2.2.2 2. metóda Bez dopravného oneskorenia	11
2.2.3 3. metóda Bez dopravného oneskorenia	12
2.2.4 S dopravným oneskorením	13
2.3 Aperiodická sústava vyššieho rádu	15
2.3.1 Strejcová metóda	15
2.3.2 Broidová metóda	17
2.4 Identifikácia z impulznej charakteristiky	18
2.4.1 Metóda momentov s nulou	18
2.4.2 Metóda momentov bez nuly	18
3 Detailne porovnanie	20
3.1 Úloha 1.	20
3.2 Úloha 2.	21
3.3 Úloha 3.	22
Záver	23

Úvod

Cieľom zadania je identifikovať rôzne typy signálov, metódami odprezentovanými na prednáškách.

1 Úlohy

Komprimovaný priečinok `sx.zip` obsahuje súbory `data1x.mat`, ..., `data4x.mat`, v ktorých sú uložené namerané časové odozvy výstupov rôznych systémov na jednotkový skok alebo impulz (špecifikáciu konkrétnej sady dát `sx.zip` nájdete v AIS v Liste záznamníka učiteľ'a, hárok Zadanie 2).

1. V súbore `data1x.mat` je nameraná prechodová charakteristika aperiodickej sústavy, pričom jednotkový skok vstupnej veličiny nastal v čase 0,5 s. Identifikujte sústavu všetkými metódami z podkapitol 5.1.1 a 5.1.2. ako sústavu 1. rádu aj 2. rádu.
2. V súbore `data2x.mat` je nameraná prechodová charakteristika kmitavej sústavy. Identifikujte sústavu všetkými metódami z podkapitoly 5.1.3.
3. V súbore `data3x.mat` je nameraná prechodová charakteristika aperiodickej sústavy vyššieho rádu. Identifikujte sústavu Broidovou a Strejcovou metódou z podkapitoly 5.1.4.
4. V súbore `data4x.mat` je nameraná prechodová (g) aj impulzná (h) charakteristika sústavy druhého rádu. Identifikujte sústavu metódou momentov (podkapitola 5.2.1), pričom uvažujte prenosové funkcie s nulou $F(s) = \frac{b_1 s + b_0}{a_2 s^2 + a_1 s + 1}$ aj bez nuly $F(s) = \frac{b_0}{a_2 s^2 + a_1 s + 1}$

2 Riešenie

Na riešenie nasledujúcich úloh nám bol pridelený dataset s20/x20.mat, z ktorých sme si identifikovali potrebné body pre danú úlohu.

2.1 Identifikácia z prechodovej charakteristiky

Pre riešenie nasledujúcich úloh je daná prenosová funkcia:

$$F(s) = \frac{K}{1 + Ts} e^{-Ds} \quad (2.1)$$

2.1.1 Sústava 1. rádu 1. metóda

Postup riešenia:

z nameraných dát sme si odčítali časove konštanty t a y nami zvolených bodov. Pomocou nasledujúcich vzťahov sme si vypočítali neznáme parametre.

$$K = y(\inf)$$

$$T = \frac{t_2 - t_1}{\ln\left(\frac{K - y_1}{K - y_2}\right)}$$

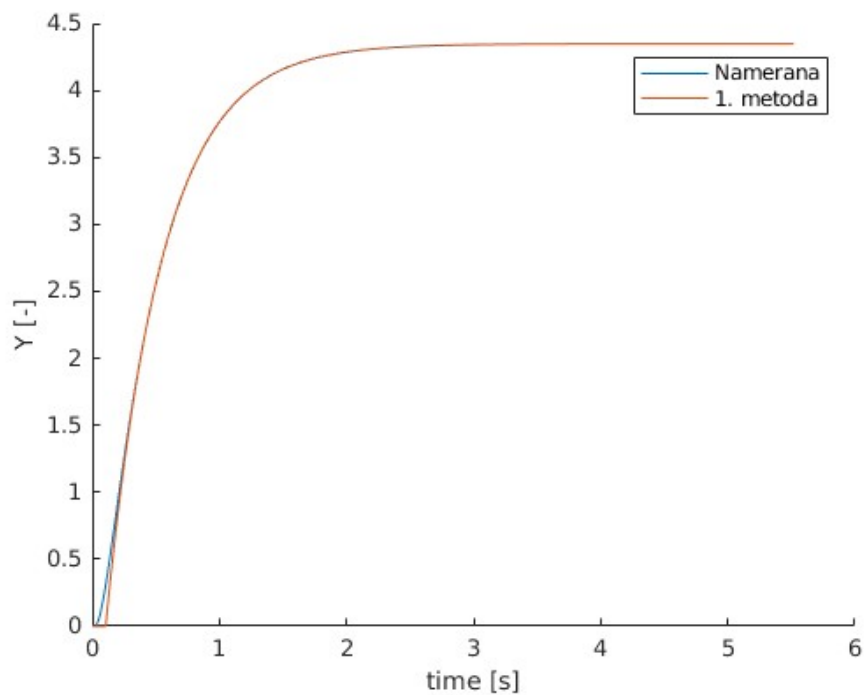
$$D = \frac{t_2 x - t_1}{x - 1} \text{ kde } x = \frac{\ln\left(\frac{K - y_1}{K}\right)}{\ln\left(\frac{K - y_2}{K}\right)}$$

y_1	2.3093	t_1	0.4427
y_2	4.3405	t_2	2.9427

Tabuľka 2.1: Hodnoty odčítané z grafu

K	4.3479
T	0.4450
D	0.1056

Tabuľka 2.2: Výsledky neznámých parametrov



Obr. 2.1: Prechodová charakteristika nameraného a identifikovaného modelu 1. metódov

2.1.2 Sústava 1. rádu 2. metóda

Postup riešenia:

z nameraných dát sme si odčítali časové konštanty t , keď y dosahoval 33% a 70% ustálenej hodnoty. Pomocou nasledujúcich vzťahov sme si vypočítali neznáme parametre.

$$K = y(\text{inf})$$

$$T = 1.245(t_{0.7} - t_{0.33})$$

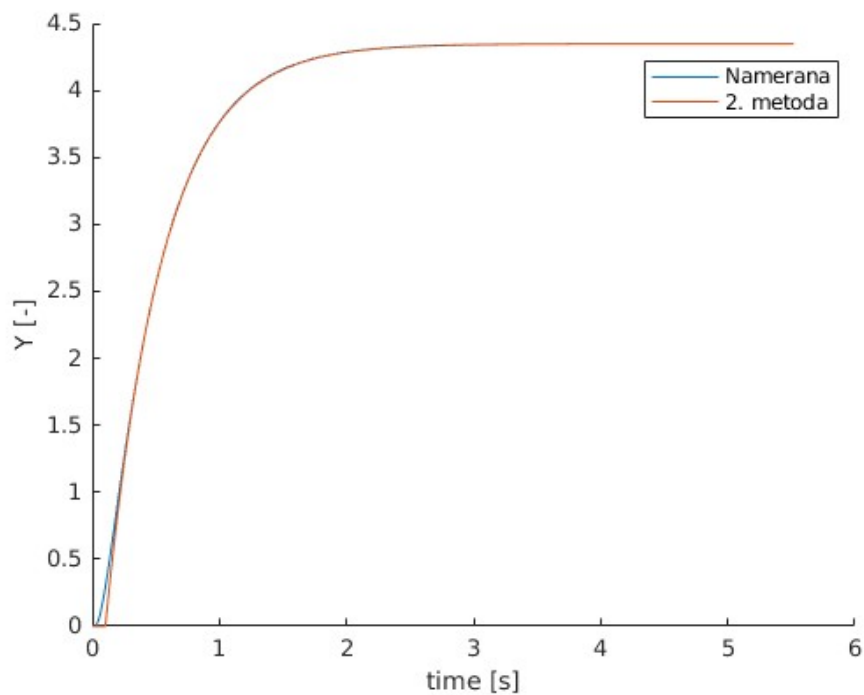
$$D = 1.498t_{0.33} - 0.498t_{0.7}$$

$t_{0.7}$	0.6427
$t_{0.33}$	0.2827

Tabuľka 2.3: Hodnoty odčítané z grafu

K	4.3479
T	0.4482
D	0.1034

Tabuľka 2.4: Výsledky neznámých parametrov



Obr. 2.2: Prechodová charakteristika nameraného a identifikovaného modelu 2. metódov

2.1.3 Sústava 1. rádu 3. metóda

Postup riešenia:

z nameraných dát sme si odčítali časove konštanty t , keď y dosahoval 28% a 40% ustálenej hodnoty. Pomocou nasledujúcich vzťahov sme si vypočítali neznáme parametre.

$$K = y(\text{inf})$$

$$T = 5.5(t_{0.4} - t_{0.28})$$

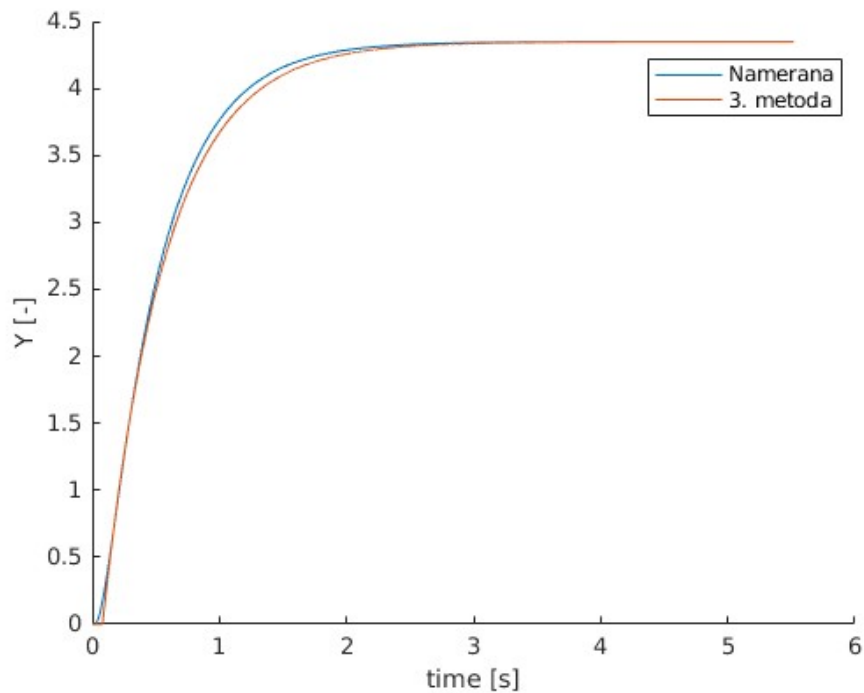
$$D = 2.8t_{0.28} - 1.8t_{0.4}$$

$t_{0.7}$	0.6427
$t_{0.33}$	0.2827

Tabuľka 2.5: Hodnoty odčítané z grafu

K	4.3479
T	0.4950
D	0.0807

Tabuľka 2.6: Výsledky neznámých parametrov



Obr. 2.3: Prechodová charakteristika nameraného a identifikovaného modelu 2. metódov

2.1.4 Sústava 2. rádu rovnaké časové konštanty

Pre riešenie nasledujúcich úloh je daná prenosová funkcia:

$$F(s) = \frac{K}{(1 + Ts)^2} e^{-Ds} \quad (2.2)$$

Postup riešenia:

z nameraných dát sme si odčítali časové konštanty t , keď y dosahoval 33% a 70% ustálenej hodnoty. Pomocou nasledujúcich vzťahov sme si vypočítali neznáme parametre.

$$K = y(\text{inf})$$

$$T = 0.794(t_{0.7} - t_{0.33})$$

$$D = 1.937t_{0.33} - 0.937t_{0.7}$$

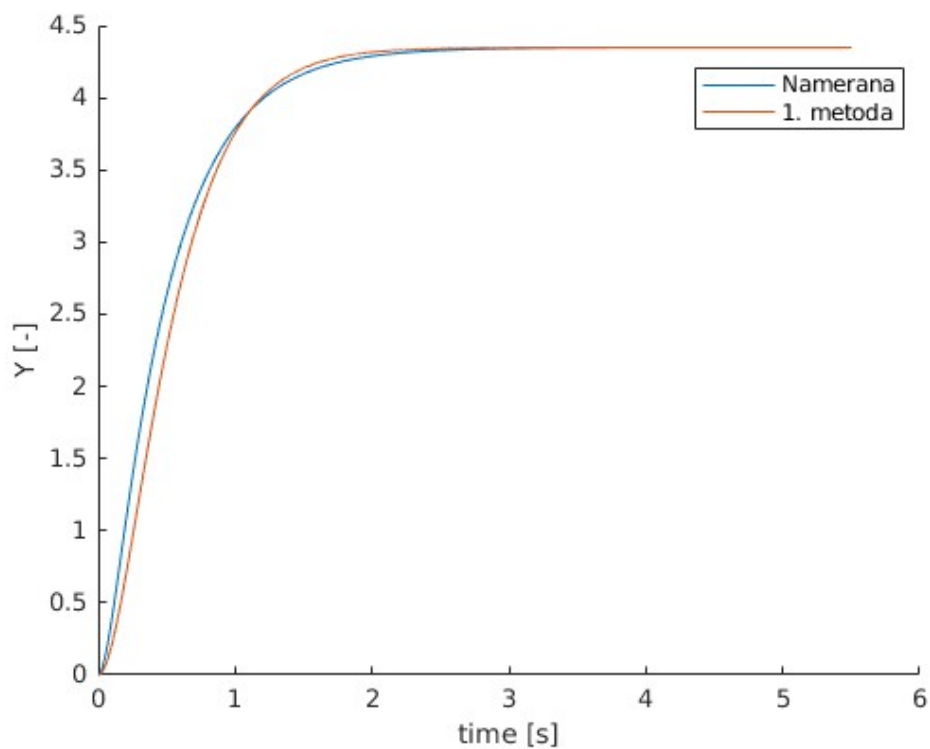
$t_{0.7}$	0.6231
$t_{0.33}$	0.2631

Tabuľka 2.7: Hodnoty odčítané z grafu

K	4.3479
T	0.2858
D	-0.0742

Tabuľka 2.8: Výsledky neznámých parametrov

Keďže sme vypočítali záporne D , tak dopravné oneskorenie systému nebudeme brať do výpočtu.



Obr. 2.4: Prechodová charakteristika nameraného a identifikovaného modelu 1. metódov

2.1.5 Sústava 2. rádu rozdielne časové konštanty

Pre riešenie nasledujúcich úloh je daná prenosová funkcia:

$$F(s) = \frac{K}{(T_1s + 1)(T_2s + 1)} \quad (2.3)$$

Postup riešenia:

z nameraných dát sme si odčítali časové konštanty čas priet'ahu T_u a čas nábehu T_n .

$$K = y(\text{inf})$$

$f_1(k) = \frac{T_n}{T_u}$ z tabuľky alebo grafu odčítame k

pre dané k z tabuľky alebo grafu odčítame $f_2(k)$

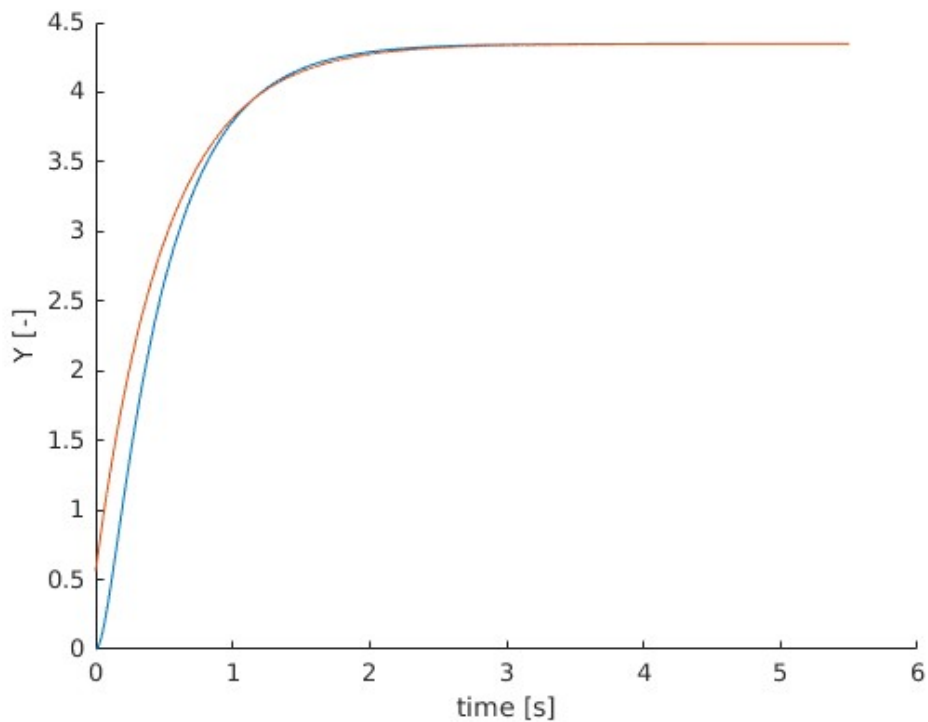
$$T_1 = \frac{T_n}{f_2(k)}$$

$$T_2 = kT_1$$

pre presnejšiu aproximáciu $f_1(k)$ a $f_2(k)$ sme použili funkciu mapovania, kde vstupom bolo vypočítané $f_1(k)$ a výstupom bolo presnejšie odhadnuté k z tabuľky. Funkciu sme použili aj na aproximáciu $f_2(k)$.

T_u	0.0438
T_n	0.6901
$f_1(k)$	15.7414
$f_2(k)$	1.3507

Tabuľka 2.9: Hodnoty odčítané z grafu a tabuliek



Obr. 2.5: Prechodová charakteristika nameraného a identifikovaného modelu 2. metódov

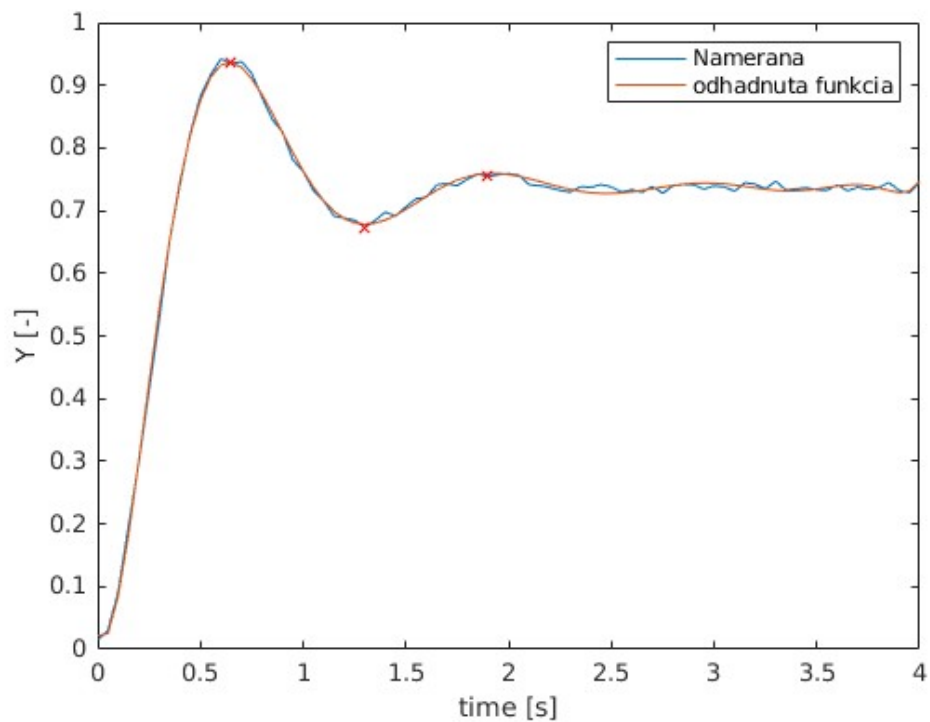
2.2 Kmitavá sústava 2. rádu

Pre riešenie nasledujúcich úloh je daná prenosová funkcia:

$$F(s) = \frac{K\omega_0^2}{s^2 + 2\omega_0\xi s + \omega_0^2} \quad (2.4)$$

kde na výpočet ω_0 použijeme vzťah $\omega_0 = \frac{1}{T}$

Pomocou funkcie polyfit a polyval sme si vytvorili funkciu opisujúcu namerané dáta bez šumu. a znej sme odčítali prvé maxima a minima, ako je vidno na obrázku 2.6.



Obr. 2.6: Prechodová charakteristika nameraného modelu a prvé extrémny

2.2.1 1. metóda Bez dopravného oneskorenia

Postup riešenia:

$$K = y(\text{inf})$$

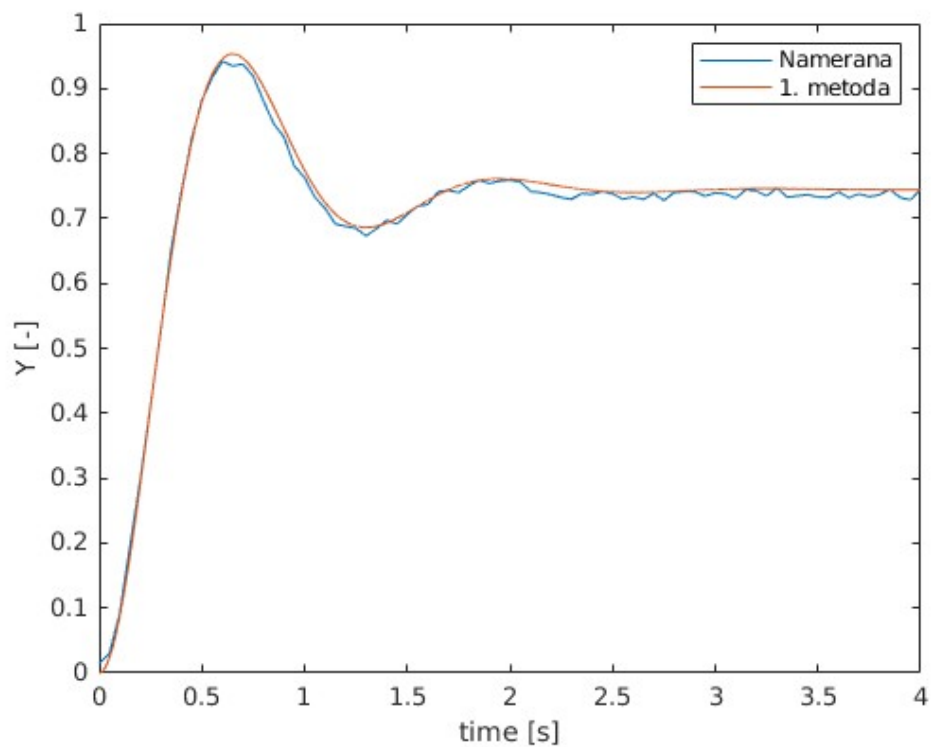
$$M = \frac{y_1 - y_2}{y_1}$$

$$\xi = \left| \frac{M}{\sqrt{\pi^2 + \ln^2 M}} \right|$$

$$\omega_0 = \frac{\pi}{(t_2 - t_1) \sqrt{1 - \xi^2}}$$

M	0.2802
ξ	0.3753
ω_0	5.2145

Tabuľka 2.10: Vypočítané hodnoty parametrov



Obr. 2.7: Prechodová charakteristika nameraného a identifikovaného modelu 1. metódov

2.2.2 2. metóda Bez dopravného oneskorenia

Postup riešenia:

$$K = y(\text{inf})$$

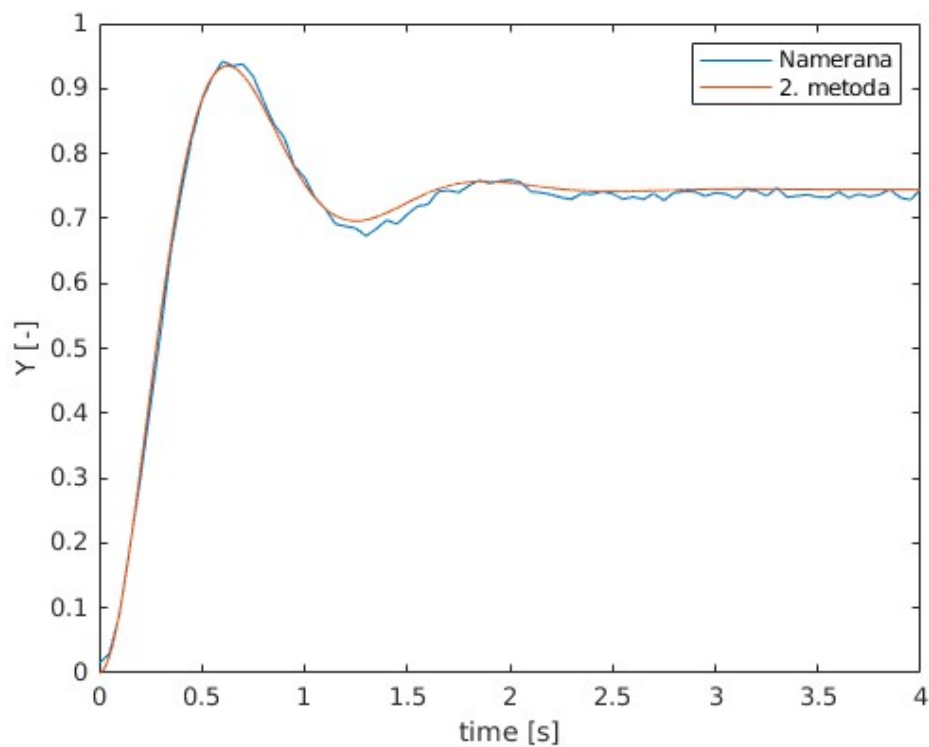
$$c = \frac{1}{\pi} \ln\left(\frac{y_1}{K} - 1\right)$$

$$\xi = \frac{-c}{\sqrt{1+c^2}}$$

$$\delta t = t_2 - t_1 \Rightarrow T = \frac{\delta t}{2\pi\sqrt{1+c^2}}$$

ξ	0.3982
ω_0	5.4798

Tabuľka 2.11: Vypočítané hodnoty parametrov



Obr. 2.8: Prechodová charakteristika nameraného a identifikovaného modelu 2. metódov

2.2.3 3. metóda Bez dopravného oneskorenia

Postup riešenia:

$$K = y(\inf)$$

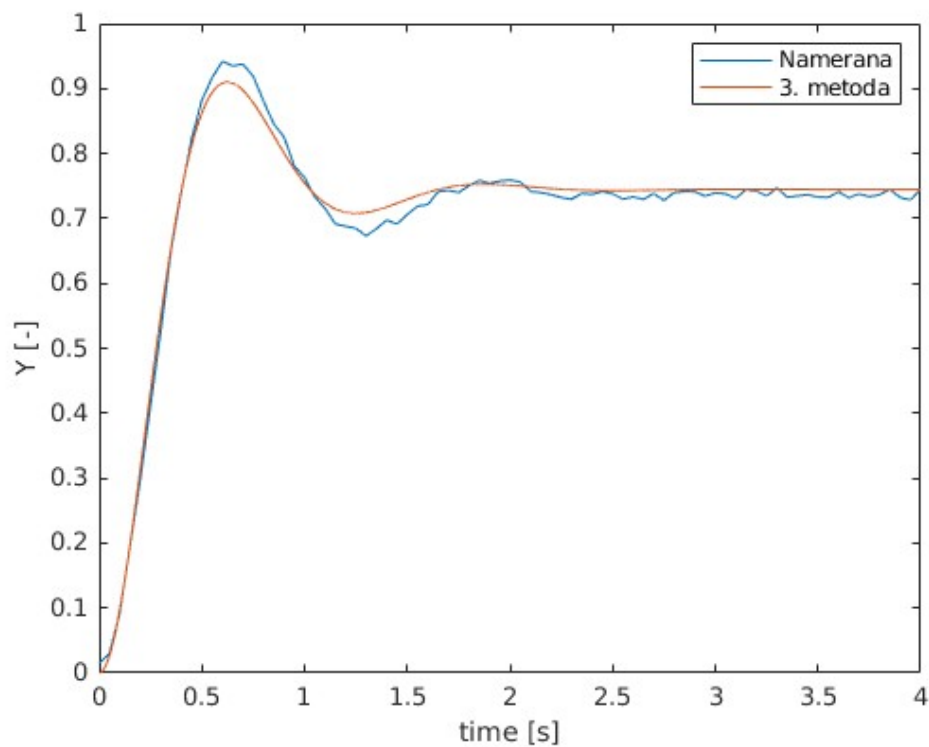
$$A_1 = y_1 - y(\inf), A_2 = y_2 - y(\inf), \delta = \frac{A_1}{A_2}$$

$$\xi = \frac{\ln \delta}{\sqrt{\ln^2 \delta + 4\pi^2}}$$

$$\delta t = t_2 - t_1 \Rightarrow T = \frac{\delta t}{2\pi} \sqrt{1 + \xi^2}$$

ξ	0.4321
T	0.1794
ω_0	5.5736

Tabuľka 2.12: Vypočítane hodnotu parametrov



Obr. 2.9: Prechodová charakteristika nameraného a identifikovaného modelu 3. metódov

2.2.4 S dopravným oneskorením

Pre riešenie nasledujúcej úlohy je daná prenosová funkcia:

$$F(s) = \frac{K\omega_0^2 e^{-Ds}}{s^2 + 2\omega_0\xi s + \omega_0^2} \quad (2.5)$$

Postup riešenia:

$$K = y(\inf)$$

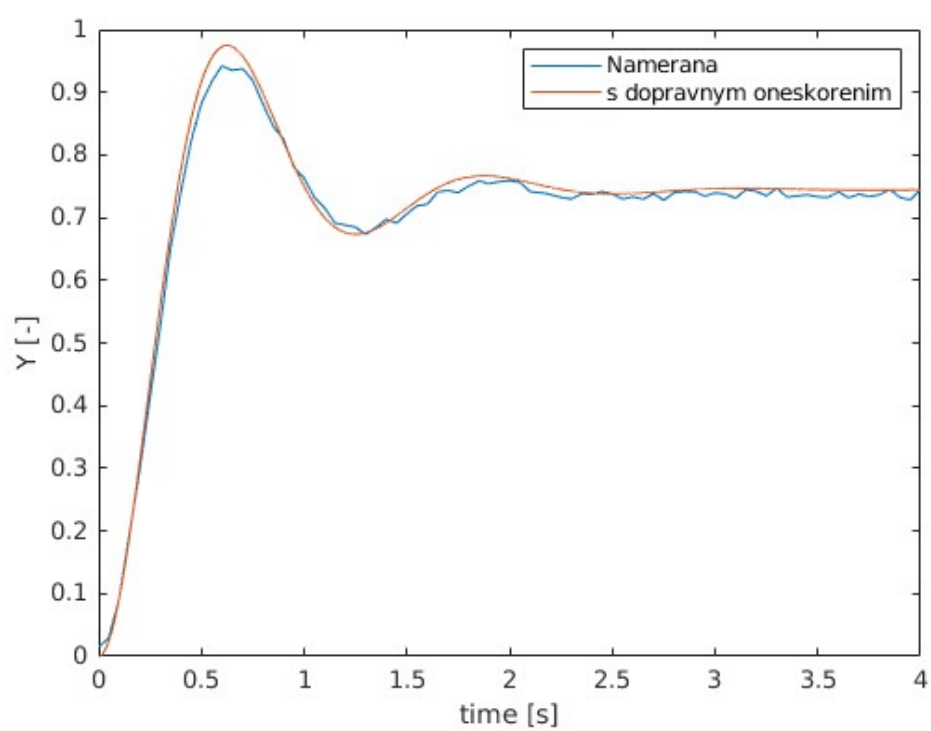
$$\xi = -\frac{\ln \frac{a_{i+1}}{a_i}}{\sqrt{\pi^2 + \ln^2 \frac{a_{i+1}}{a_i}}}$$

$$T = \frac{1}{\pi n} (t_{n+1} - t_1) \sqrt{1 - \xi^2} \text{ kde } n = 2$$

$$D = \frac{1}{n} \sum_{i=1}^n t_i - \frac{n+1}{2n} (t_n + 1 - t_1)$$

ξ	0.3500
T	0.1864
D	-1.2625

Tabuľka 2.13: Vypočítané hodnoty parametrov



Obr. 2.10: Prechodová charakteristika nameraného a identifikovaného modelu 3. metódou s dopravným oneskorením

2.3 Aperiodická sústava vyššieho rádu

V tejto sekcii sme použili funkciu `infp.m`, ktorú sme si upravili aby nám vrátila hodnoty t_{infl} , t_{ngt} , T_{us} a T_n potrebné na výpočet.

2.3.1 Strejcová metóda

Pre riešenie nasledujúcej úlohy je daná prenosová funkcia:

$$F(s) = \frac{K}{(1 + sT)^n} e^{-Ds} \quad (2.6)$$

$f_s = \frac{T_{us}}{T_n}$ nájdeme (v tabuľke) také n_0 , pre ktoré platí $f(n_0) \leq f_s < f(n_0 + 1)$

Z tabuľky pre hodnotu $f_s = 0.2544$ sme odčítali $n_0 = 3$ a hodnoty $f(n_0) = 0.218$, $g(n_0) = 0.271$.

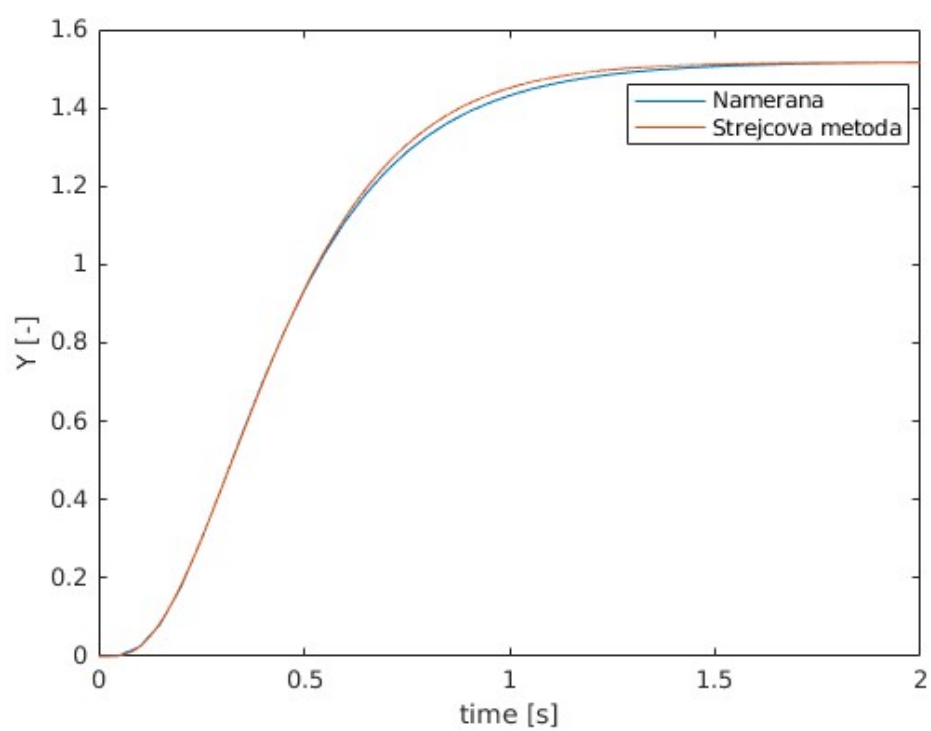
$$K = y(\inf)$$

$$D = (f_s - f(n_0))T_n$$

$$T = T_n g(n_0)$$

f_s	0.2544
$f(n_0)$	0.218
$g(n_0)$	0.271
D	0.0202
T	0.1507

Tabuľka 2.14: Vypočítané a odčítané hodnoty parametrov



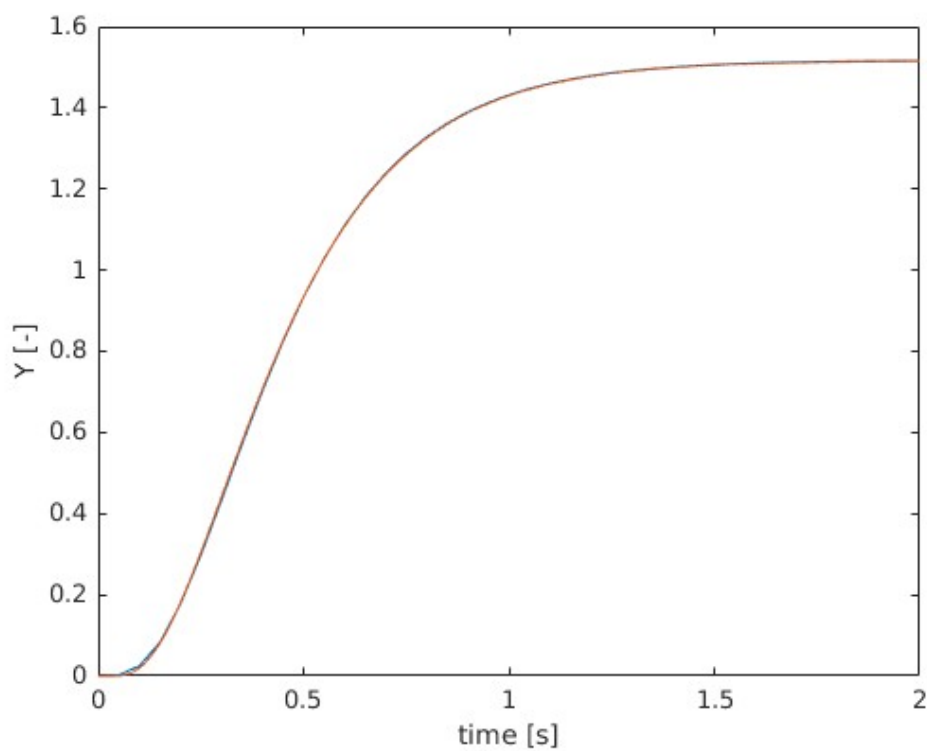
Obr. 2.11: Prechodová charakteristika nameraného a identifikovaného modelu Strejcovou metódou

2.3.2 Broidová metóda

Postup s hľadáním $f(n_0)$, $g(n_0)$ je rovnaký ako v predošlej metóde len hodnoty sú iné.

f_s	0.2544
$f(n_0)$	0.192
$g(n_0)$	0.440
D	0.0347
T	0.2447

Tabuľka 2.15: Vypočítané a odčítané hodnoty parametrov



Obr. 2.12: Prechodová charakteristika nameraného a identifikovaného modelu Broidovou metódou

2.4 Identifikácia z impulznej charakteristiky

Cieľom tejto identifikácie je nájsť parametre prenosovej funkcie ktoré budú opísané v nasledujúcich sekciách.

Pre výpočet i-tého momentu váhovej funkcie použijeme vzťah:

$$M_i = \sum_{j=1}^N t_j^i h_j T_{vz}$$

2.4.1 Metóda momentov s nulou

Prenosvá funkcia je definovaná ako:

$$F(s) = \frac{b_1 s + b_0}{a_2 s^2 + a_1 s + 1}$$

Vytvoríme si sústavu algebraických rovníc $n+m+1 = 4$

$$M_0 = b_0$$

$$-M_1 + M_0 a_1 = b_1$$

$$\frac{M_2}{2!} - M_1 a_1 + M_0 a_2 = 0$$

$$-\frac{M_3}{3!} + \frac{M_2}{2!} - M_1 a_2 = 0$$

$$M\hat{\theta} = m \Rightarrow \hat{\theta} = M^{-1}m$$

Výpočet $M\hat{\theta} = m$ je znázornený nižšie.

$$\begin{bmatrix} 0 & 0 & 1 & 0 \\ M_0 & 0 & 0 & -1 \\ -M_1 & M_0 & 0 & 0 \\ \frac{M_2}{2!} & -M_1 & 0 & 0 \end{bmatrix} \begin{bmatrix} a_1 \\ a_2 \\ b_0 \\ b_1 \end{bmatrix} = \begin{bmatrix} M_0 \\ M_1 \\ -\frac{M_2}{2!} \\ \frac{M_3}{3!} \end{bmatrix}$$

Z výpočtu sme dostali prenosovú funkciu:

$$F(s) = \frac{1.076s + 1.102}{3.519s^2 + 3.558s + 1}$$

2.4.2 Metóda momentov bez nuly

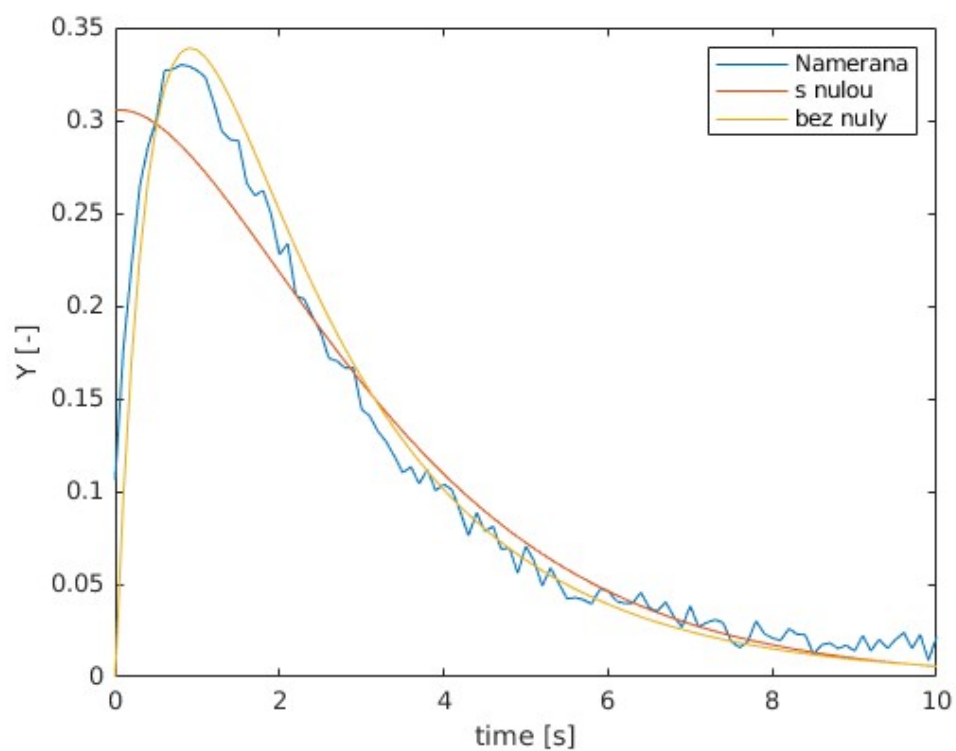
Postup je rovnaký ako v predošlej úlohe líšiť sa budú len matice a vektory.

$$\begin{bmatrix} 0 & 0 & 1 \\ M_0 & 0 & 0 \\ -M_1 & M_0 & 0 \end{bmatrix} \begin{bmatrix} a_1 \\ a_2 \\ b_0 \end{bmatrix} = \begin{bmatrix} M_0 \\ M_1 \\ -\frac{M_2}{2!} \end{bmatrix}$$

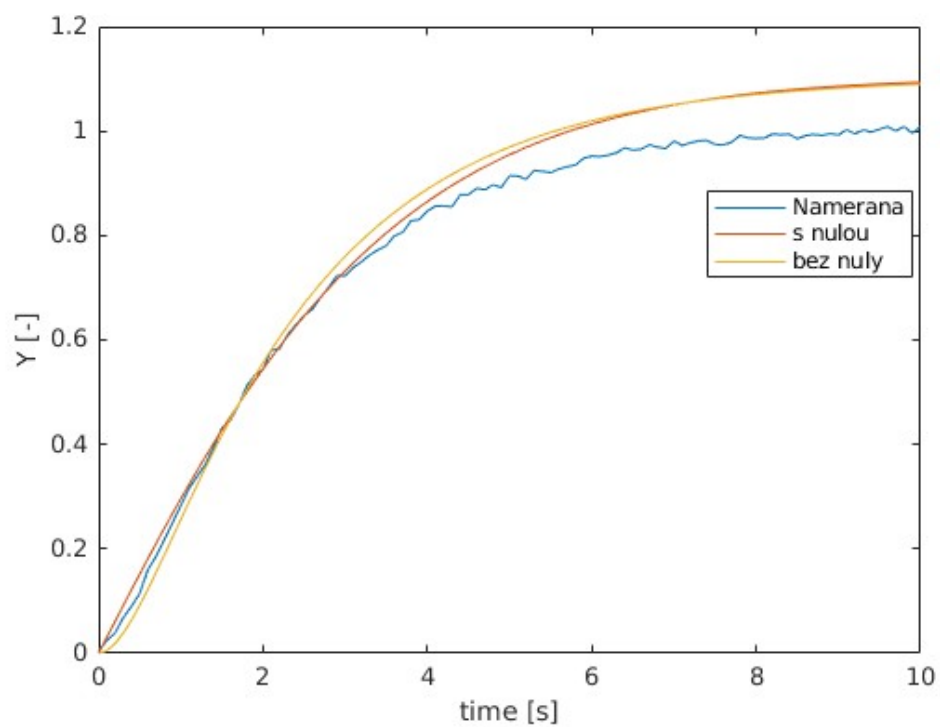
Z výpočtu sme dostali prenosovú funkciu:

$$F(s) = \frac{1.102}{0.9989s^2 + 2.582s + 1}$$

Grafické porovnanie výsledkov.



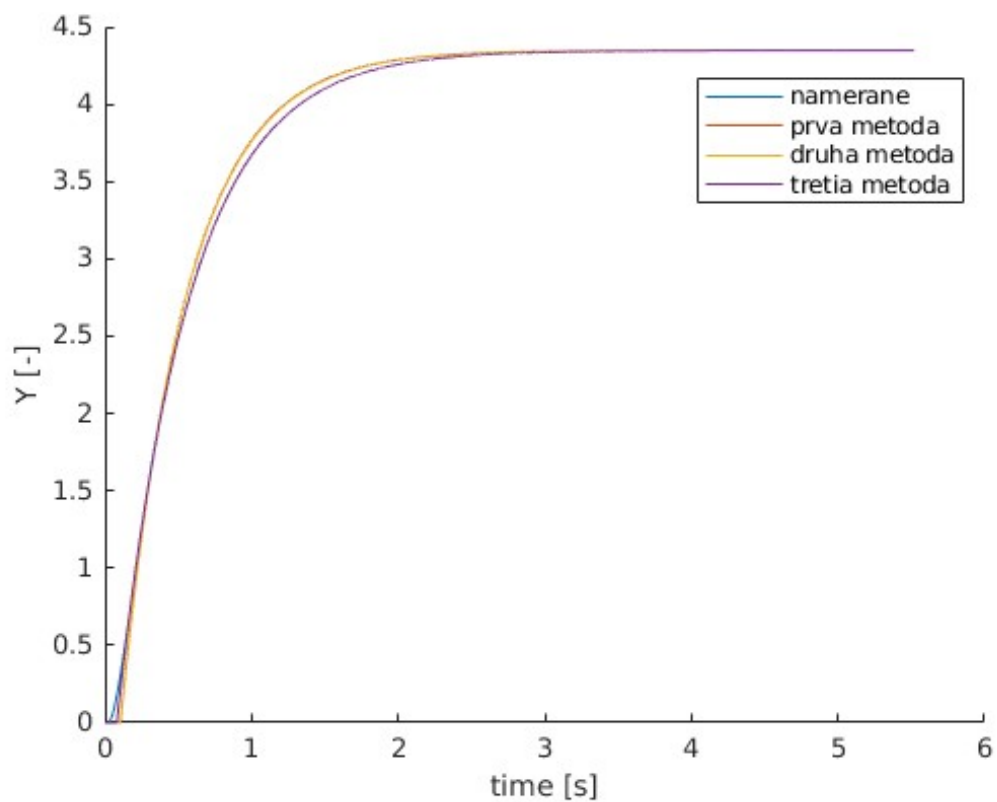
Obr. 2.13: Odozva systému nameraného a identifikovaného systému na impulz



Obr. 2.14: Prechodová charakteristika nameraného a identifikovaného systému

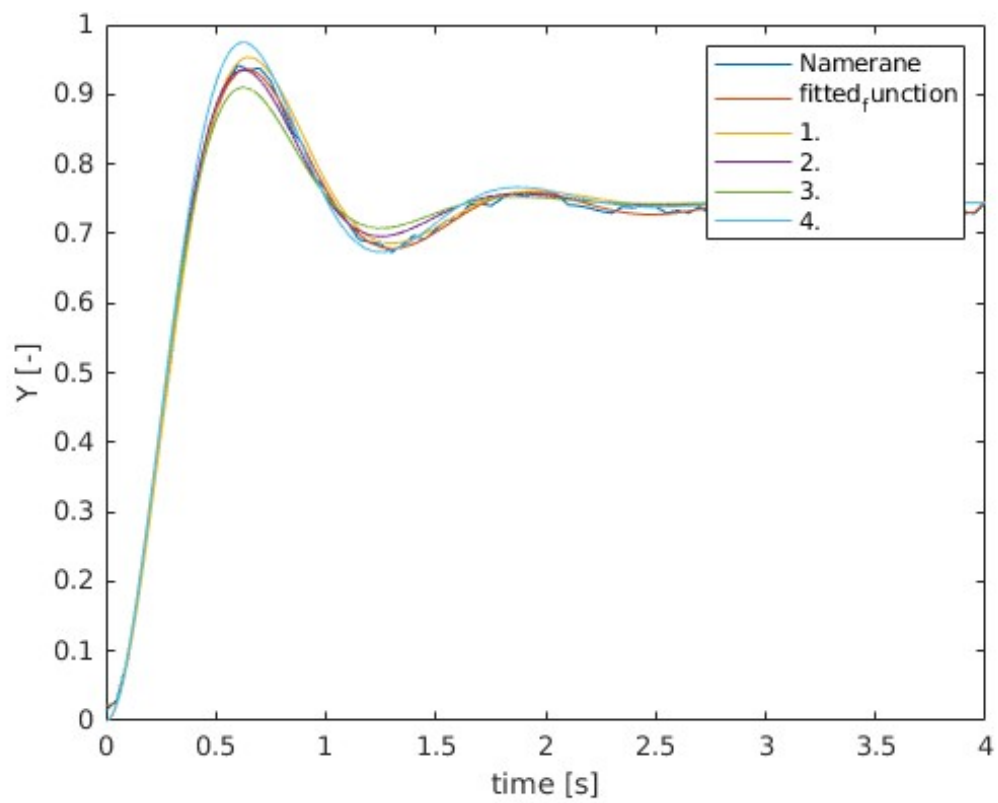
3 Detailne porovnanie

3.1 Úloha 1.



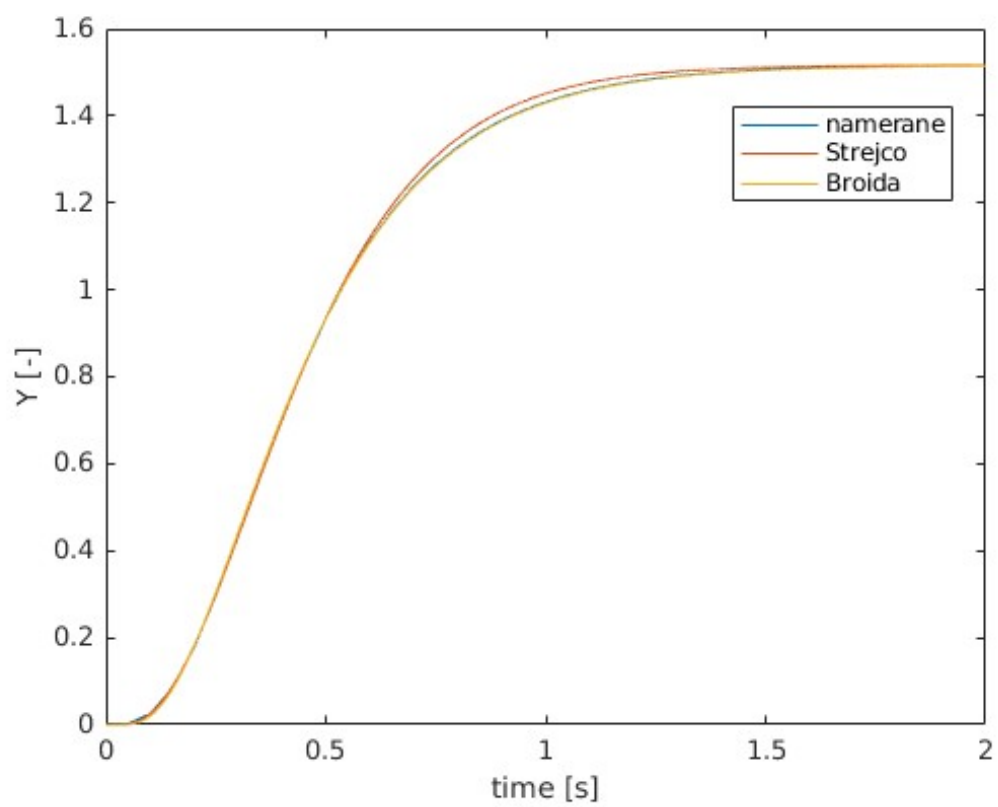
Obr. 3.1: Prechodová charakteristika nameraného a identifikovaného systému

3.2 Úloha 2.



Obr. 3.2: Prechodová charakteristika nameraného a identifikovaného systému

3.3 Úloha 3.



Obr. 3.3: Prechodová charakteristika nameraného a identifikovaného systému

Záver

V prvej úlohe môžeme pozorovať že nameraný signál najlepšie aproximovaná 2.1 a 2.3, z nich lepšia je tretia metóda, pretože skôr zareagovala na zmenu, metóda 2.1.3 mala problém odhadnúť signál pri nábehu.

V druhej časti prvej úlohy 2.5 mala oveľa rýchlejšiu odozvu na zmenu, ale na ustálenú hodnotu metóda 2.4, došla skôr.

V druhej úlohe zašumený signál najlepšie opísala metóda 2.7. Pri metóde 2.10 došlo k prekmitu a mal problém opísať signál pri zmenách. Metóda 2.8 a 2.2.4 zle opísali extrémny signálu.

V tretej úlohe sme porovnávali Strejcovú 2.3.1 a Broidovú 2.3.2 metódu. Broidová metóda takmer identicky opísala nameraný signál. Strejcová sa rýchlejšie dostala na ustálenú hodnotu.

Vo štvrtej úlohe lepšie odozvu na impulz opísala prenosová funkcia, ktorá nemala v čítali nulu čiže 2.4.2. Odozvu na skokovú zmenu mali obe podobnú, líšili sa prevažne na začiatku kde 2.4.1 mala plynulejší prechod a nabehla hneď kde druhá metóda začala stúpať o niečo neskôr.